

# Trabalho de L<sup>A</sup>T<sub>E</sub>X

## Sumário

<b>1</b>	<b>Introdução</b>	<b>1</b>
<b>2</b>	<b>Fundamentação Teórica</b>	<b>2</b>
2.1	Figuras utilizadas . . . . .	2
<b>3</b>	<b>Desenvolvimento</b>	<b>4</b>
3.1	Dados computacionais . . . . .	4
3.1.1	Tabelas com valores utilizados . . . . .	4
<b>4</b>	<b>Resultados</b>	<b>4</b>
<b>5</b>	<b>Circuitos Elétricos</b>	<b>5</b>

## Lista de Figuras

1	Forma de crescimento dos valores. . . . .	2
2	Mostra a relação entre os parâmetros. . . . .	3
3	Mostra a parâmetros. . . . .	3
4	Mostra a relação entre os parâmetros. . . . .	4
5	Circuito representando o comportamento apresentado. . . . .	5

## Lista de Tabelas

1	Indica a relação entre os valores pedidos e fornecidos. . . . .	4
---	---	---

### Resumo

*Texto de experimento do latex.* **Texto de experimento do latex.** Texto de experimento do latex. Texto de experimento do latex. Texto de experimento do latex. Conforme a Figura 2. Texto de experimento do latex. Texto de experimento do latex. Aqui relacionamos a Figura 1, conforme a Equação (4)

## 1 Introdução

Será dito na Seção 3.1.1, que o material necessário,... O Item 2(b)ii é utilizado É, tão, calção, né. É, tão, calção, né. Texto de experimento do latex. Texto de experimento do latex. Texto de experimento do latex. TEXTO DE EXPERIMENTO DO L<sup>A</sup>T<sub>E</sub>X.

$$2x + 1 = 3 \tag{1}$$

$$2x + 1 = 3$$

$$\vec{A} \cdot \vec{B} = |A||B| \cos(\theta) \tag{2}$$

Texto de experimento do latex. Texto de  $5x - 4t = 12$  experimento do latex. Texto de experimento do latex. Texto de experimento do latex. Texto de experimento do latex. Texto de experimento do latex.

$$12x + 3 = 4$$

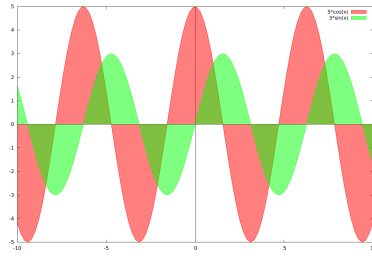


Figura 1: Forma de crescimento dos valores.

## 2 Fundamentação Teórica

A Equação  $f(x) = \frac{5x-4}{2x-6}$  é a matematização da expressão dada pela askfjh askldjfh askdjf askldjfh askldfjh alksdhf askjh askdf Equação (3).

### 2.1 Figuras utilizadas

$$f(x) = \sum_{i=1}^n \frac{f^i(x)}{i!}, \quad (3)$$

$$f(x) = \sum_{i=1}^n \frac{f^i(x)}{i!}$$

Texto

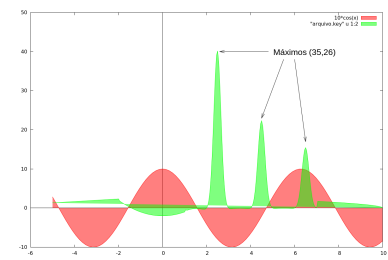


Figura 2: Mostra a relação entre os parâmetros.

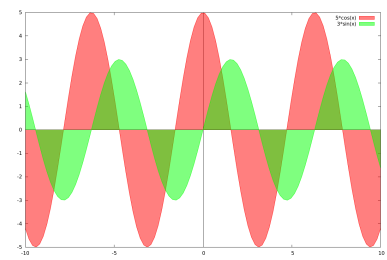
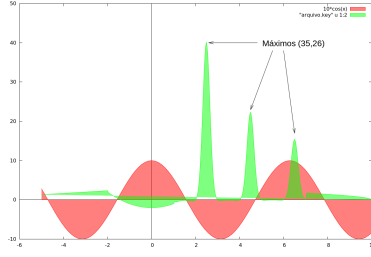


Figura 3: Mostra a



$$\Phi_E = \oint_0^{\text{Área}} \vec{E} \cdot d\vec{A},$$

$$\Phi_E = \oint_0^{\text{Área}} \vec{E} \cdot d\vec{A}$$

Figura 4: Mostra a relação entre os parâmetros.

$$\Phi_E = \oint_0^{\text{Área}} \vec{E} \cdot d\vec{A}, \Phi_E = \oint_0^{\text{Área}} \vec{E} \cdot d\vec{A}$$

### 3 Desenvolvimento

#### 3.1 Dados computacionais

$$\alpha, \beta, \gamma, \delta, \Delta, \epsilon, \psi, \Psi(x, t)$$

$$|\vec{A} \times \vec{B}| = |\vec{A}||\vec{B}| \sin(\theta)$$

##### 3.1.1 Tabelas com valores utilizados

$A_{11}$	$A_{12}$	$A_{13}$
$A_{21}$	$A_{22}$	$A_{23}$
$V_x$	$V_y asdj$	$V_z$

Tabela 1: Indica a relação entre os valores pedidos e fornecidos.

$\theta = \sqrt{x^2 - 8}$ ,  $\theta = \sqrt[5]{x^2 - 8}$ , versor nas direções  $x, y, z$  são dados por  $\hat{i}, \hat{j}, \hat{k}, \hat{i}$ , conforme a Tabela 1.

- Primeiro item;
- Segundo item;
  - Subitem 1;
  - Subitem 2;
    - \* Sub-subitem1;
    - \* Sub-subitem 2.
  - Subitem 3.
- Terceiro item;
- Quarto item;
- Quinto item;
- Sexto item.

### 4 Resultados

$$A_{ij} = \begin{bmatrix} A_{11} & A_{12} & A_{13} \\ A_{21} & A_{22} & A_{23} \\ V_x & V_y asdj & V_z \end{bmatrix} \quad (4)$$

1. Primeiro item;
2. Segundo item;
  - (a) Subitem 1;
  - (b) Subitem 2;
    - i. Sub-subitem1;
    - ii. Sub-subitem 2.
  - (c) Subitem 3.

3. Terceiro item;
4. Quarto item;
5. Quinto item;
6. Sexto item.

## 5 Circuitos Elétricos

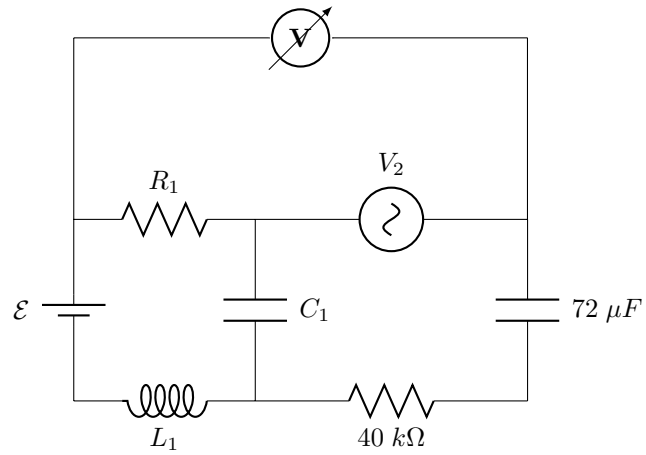


Figura 5: Circuito representando o comportamento apresentado.